

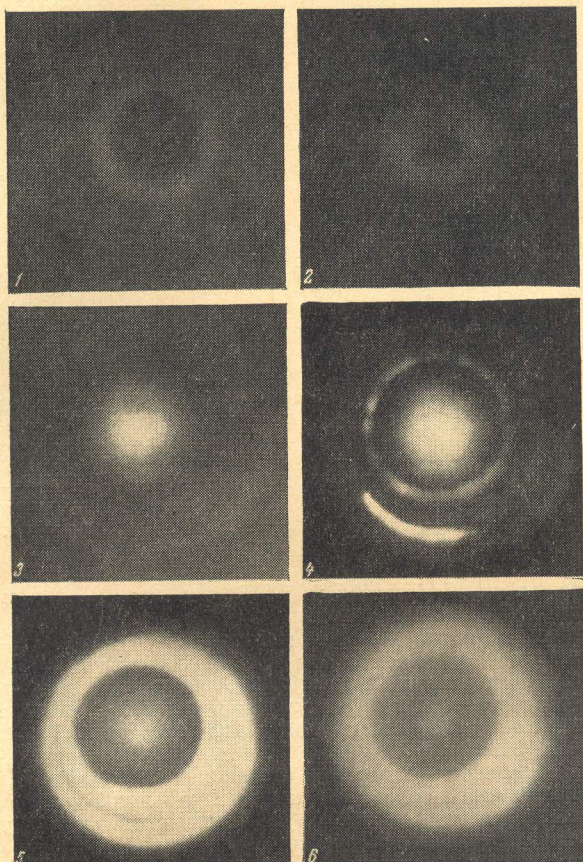
**ВОЗБУЖДЕНИЕ СИЛЬНЫХ БЕССТОЛКОВИТЕЛЬНЫХ УДАРНЫХ ВОЛН
В ДЕЙТЕРИЕВОЙ ПЛАЗМЕ**

***A. M. Искольдский, R. X. Куртмуллаев, Ю. Е. Нестерихин,
A. Г. Пономаренко***

(Новосибирск)

В работе [1] было показано, что в разреженной плазме, находящейся в квазистационарном магнитном поле, можно возбудить ударные волны с шириной фронта, значительно меньшей длины свободного пробега ионов.

Из теории [2] следует, что для эффективного нагрева ионов необходимо выполнить, по крайней мере, два условия. Первое: $t < R / V_a$ (где t — характерное время



Фиг. 1

нарастания магнитного поля, V_a — альфеновская скорость, R — поперечный размер камеры) и второе: $H > 2 - 3H_0$ (H — переменное магнитное поле, генерирующее волну, H_0 — квазистационарное поле).

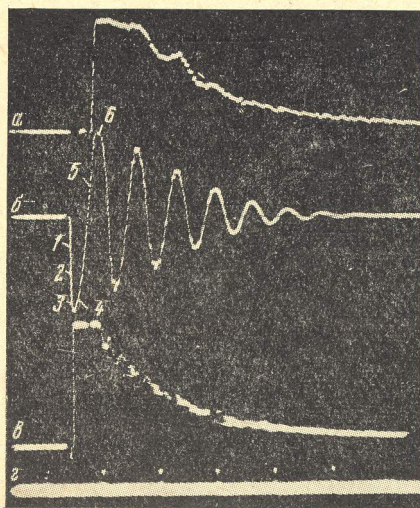
В данной работе приводятся предварительные результаты экспериментов по нагреву водородной плазмы при помощи сильных бесстолкновительных ударных волн.

Плазма создавалась в стеклянной вакуумной камере диаметром 16 см и длиной около 2.5 м, располагавшейся на оси системы с магнитными пробками (период квазистационарного поля магнитной ловушки 5 мсек, $H_0 = 0.5 - 2$ кэ, пробочное отношение $\alpha \sim 1.4$). Предварительная ионизация плазмы осуществлялась при помощи конического θ-пинча с импульсным напуском дейтерия (0.1 см³ при $p = 500 - 700$ мм

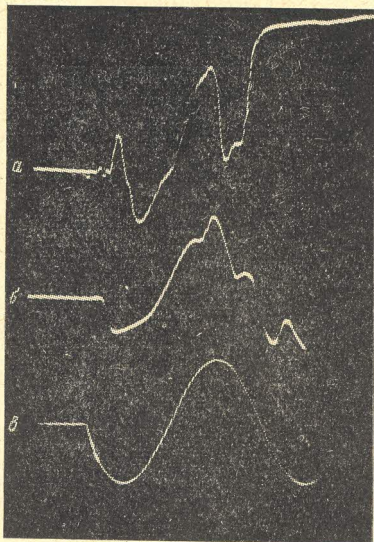
рт. ст.), установленного вне пробкотрона [3]. За несколько десятков мксек плазма, пройдя через пробку, равномерно заполняла объем магнитной ловушки, в центральной части которой находился цилиндрический виток длиной 30 см, генерирующий ударные волны. На последний разряжался специальный накопитель емкостью 0.6 мкФ при напряжении от 60 до 100 кэ. Величина переменного магнитного поля на оси витка достигала 4–6 кэ за время ~ 0.3 мксек.

Исследование параметров плазмы проводилось при помощи известных методов диагностики: СВЧ-зондирования ($\lambda = 0.4, 0.8$ и 3 см), датчиков рентгеновского и нейтронного излучений, анализаторов заряженных частиц по энергиям.

При изучении процессов образования, движения «магнитного поршня» и связанный с ним ударной волны были использованы скоростные методы съемки при помощи



Фиг. 2



Фиг. 3

электронно-оптических преобразователей (ЭОП) и магнитные зонды [1], располагавшиеся на различных расстояниях по радиусу.

Так как в необходимом диапазоне концентраций ($n = 5 \cdot 10^{12} - 3 \cdot 10^{13}$ см $^{-3}$) интенсивность свечения дейтериевой плазмы в первой четверти периода разряда оказалась недостаточной для уверенной оптической регистрации начальных стадий процесса, в качестве рабочего газа был использован гелий (сравнение кадров, сделанных в последующие моменты времени, показало, что картина поведения плазмы от этого практически не меняется).

На фиг. 1 представлены фотографии свечения плазмы, полученные при помощи ЭОП через торец вакуумной камеры. На кадрах 1 и 2 видна эволюция сформировавшегося токового слоя («магнитного поршня»), возбуждающего ударную волну, возникновение которой регистрировалось магнитными зондами.

Моменты экспозиции указаны на осциллограмме тока (фиг. 2, б) (время экспозиции $t \approx 15 \cdot 10^{-9}$ сек); на этой фигуре а и в — излучение нейтронов; г — метки времени, равные 2 мксек. На осциллограмме фиг. 3, а, сигналы, соответствующие ударной волне и токовому слою, имеют различную полярность, так как направления полей H и H_0 были выбраны противоположными.

В условиях эксперимента скорость ударной волны, определенная по запаздыванию магнитных сигналов, изменялась в пределах от 10^7 до 10^8 см / сек при ширине фронта от 1 до 3 см. Из обработки полученных осциллограмм и скоростных фотографий следует, что в течение первой четверти периода ударная волна кумулирует на оси камеры, а токовый слой эффективно сжимает нагретую плазму. Конфигурация магнитного поля ударного витка позволяет плазме частично вытекать по магнитным силовым линиям, чем, по-видимому, объясняется характер свечения, зарегистрированный на фиг. 1 (кадр 4).

В начале второго полупериода наступает пробой у стенки камеры (в экспериментах на дейтерии при плотности $n \leq 10^{13}$ см $^{-3}$ момент пробоя смещался к началу третьего полупериода), а возрастающее магнитное поле продолжает сжатие плазмы

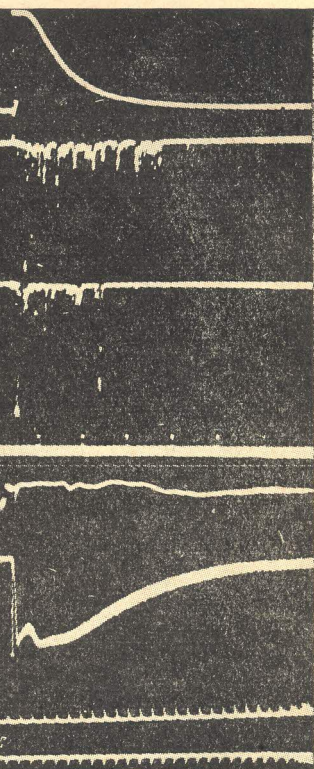
в центре камеры. В момент достижения током своего максимального значения плазма имеет диаметр от 2 до 3 см (фиг. 1, а, кадр б). Процесс сжатия сопровождается появлением нейтронного излучения, одновременно с возникновением которого электростатический анализатор, установленный за пробкой магнитной ловушки, фиксирует ионы и электроны с продольной энергией до 15 кэв (см. фиг. 4, а, б и в).

В экспериментах с ударным витком, составленным из двух усеченных конусов с углом между образующейся и осью $\sim 5^\circ$, появление нейтронного сигнала происходило на первой четверти периода тока (фиг. 2, в). На фиг. 3 дана осциллограмма сигналов с магнитных зондов, установленных в плазме под витком на расстояниях: а — 0.25 R и б — 0.7 R от оси камеры; в — осциллограмма тока в ударном витке $T = 1.8 \text{ мксек}$.

Длительность нейтронного излучения составляла от 15 до 100 мксек при полном числе нейтронов от 10^6 до 10^7 за разряд. Исследования пространственного распределения нейтронного излучения, проведенные при помощи ядерных фотоэмультисий, позволили определить продольный размер источника излучения, оказавшийся равным 20 см. Отклонений в пространственном распределении, свидетельствовавших о наличии ускорительных механизмов, не было обнаружено. При помощи фотоэлектрической методики (фольга, кристалл, ФЭУ) была произведена оценка поперечной энергии электронов — основная доля регистрируемых γ -квантов приходится в этом случае на интервал энергий от 7 до 10 кэв. На фиг. 4 приведено излучение нейтронов, скоррелированное с показаниями анализатора заряженных частиц: а — н^o; б — ионы 1 кэв; в — ионы 10 кэв; г — метки времени 10 мксек; д — «запирание» СВЧ с $\lambda = 3 \text{ см}$; е — рентгеновское излучение, вызванное уходом электронов поперек магнитного поля; ж — метки времени 50 мксек.

Результаты экспериментов подтверждают, что в условиях возбуждения сильных бесстолкновительных ударных волн и последующего сжатия плазмы токовым слоем может быть осуществлен интенсивный нагрев ионов. Оптические и магнитные измерения на первых полупериодах не обнаруживают заметных неустойчивостей, что, по нашему мнению, чрезвычайно существенно при выяснении механизма образования нейтронов. Температура ионов, рассчитанная в предположении термоядерного механизма образования нейтронов, оказывается $\sim 10 \text{ кэв}$ при $n \leq 10^{13} \text{ см}^{-3}$, что соответствует данным, полученным при помощи анализатора заряженных частиц по энергиям и магнитных зондов.

Авторы благодарят Г. И. Будкера за постоянное внимание и интерес к работе, и Р. З. Сагдеева — за участие и помощь в обсуждении результатов экспериментов.



Фиг. 4

Поступила 17 XI 1964

ЛИТЕРАТУРА

1. И скольдский А. М., К уртмуллаев Р. Х., Н естрихин Ю. Е. Пономаренко А. Г. Эксперименты по бесстолкновительной ударной волне в плазме. Ж. эксперим. и теор. физ., 1964, т. 47, № 8, стр. 774.
2. С агдее в Р. З. О тонкой структуре фронта ударной волны, распространяющейся поперек магнитного поля в разреженной плазме. Ж. техн. физ., 1961, т. 31, стр. 1185.
3. А линовский Н. И., И скольдский А. М., Н естрихин Ю. Е., Пономаренко А. Г. Ж. техн. физ. (в печати).